

Physical and Chemical Properties of DNA Ligases

Sara Abdolahi^{1,2}, Maryam Borhani Haghghi^{2,3}, Hadi Aligholi^{4*}

¹Department of Pathobiology, School of Veterinary Medicine, Shiraz University, Shiraz, Iran

²Shefa Neuroscience Research Center, Khatam Alanbia Hospital, Tehran, Iran

³Department of Anatomy, School of Medicine, Tehran University of Medical Sciences, Tehran, Iran

⁴Department of Neuroscience, School of Advanced Medical Sciences and Technologies, Shiraz University of Medical Sciences, Shiraz, Iran

Article Info:

Received: 4 Dec 2016

Accepted: 19 Feb 2017

ABSTRACT

Introduction: DNA ligases as a particular type of enzyme which catalyze and facilitate the formation of a phosphodiester bond in duplex DNA are central enzymes in molecular biology. DNA ligase forms a bond between the end of a donor nucleotide and the end of an acceptor nucleotide. Reaction of DNA ligases is necessary for all organisms and serves as the fundamental step of DNA replication and repair. DNA ligase can play an important role in repairing single strand disruptions and fasten nicks in double-stranded DNA. It also connects Okazaki fragments during the replication of DNA. *T4* DNA ligase, *E. coli* DNA ligase, and thermostable DNA ligases are examples of DNA ligase enzyme family. These enzymes differ in their co-factor requirements, substrate specificity, and thermal stability. **Conclusion:** DNA ligase has the widespread use in laboratories of molecular biology for recombinant DNA experiments. Despite the existence and operation of the DNA ligases in all organisms, they show a vast variety of amino acid sequences, molecular sizes, and attributes.

Key words:

1. DNA Ligases
2. Zinc Fingers
3. Biology

*Corresponding Author: Hadi Aligholi

E-mail: hadialigholi@yahoo.com

ویژگی‌های فیزیکی و شیمیایی DNA لیگازها

سارا عبدالهی^{۱،۲}، مریم برهانی حقیقی^{۲،۳}، هادی علیقلی^{۴}

^۱گروه پاتوبیولوژی، دانشکده دامپزشکی، دانشگاه شیراز، شیراز، ایران

^۲مرکز تحقیقات علوم اعصاب شفا، بیمارستان خاتم الانبیاء، تهران، ایران

^۳گروه آناتومی، دانشکده پزشکی، دانشگاه علوم پزشکی تهران، تهران، ایران

^۴گروه علوم اعصاب، دانشکده علوم و فناوری‌های نوین پزشکی، دانشگاه علوم پزشکی شیراز، شیراز، ایران

اطلاعات مقاله:

تاریخ پذیرش: ۱ اسفند ۱۳۹۵

تاریخ دریافت: ۱۴ آذر ۱۳۹۵

چکیده

مقدمه: DNA لیگازها به عنوان نوع خاصی از آنزیم‌ها که تشکیل پیوند فسفودی استر در DNA دو رشته‌ای را تسریع و تسهیل می‌کنند، آنزیم‌های اصلی در زیست شناسی مولکولی هستند. DNA لیگاز بین انتهای یک نوکلئوتید دهنده و انتهای یک نوکلئوتید پذیرنده یک پیوند تشکیل می‌دهد. واکنش DNA لیگاز برای تمام موجودات زنده لازم است و به عنوان گام اساسی ترمیم و تکثیر DNA عمل می‌کند. لیگاز می‌تواند نقش مهمی در ترمیم اختلالات DNA تک رشته و اتصال شکاف‌ها در DNA دو رشته بازی کند. همچنین قطعات اکازاکی در طی همانندسازی DNA را به یکدیگر متصل می‌کند. DNA لیگاز *T4* DNA لیگاز *E. coli* و DNA لیگاز مقاوم به حرارت نمونه‌هایی از آنزیم‌های خانواده DNA لیگاز هستند. این آنزیم‌ها در کوفاکتور مورد نیاز خود، سوبیسترا اختراعی و پایداری حرارتی متفاوت هستند. **نتیجه‌گیری:** DNA لیگازها دارای استفاده گسترده در آزمایشگاه‌های زیست شناسی مولکولی برای آزمایش‌های DNA نوترکیب می‌باشند. با وجود حضور و عملکرد DNA لیگازها در تمام موجودات، آن‌ها تنوع گسترده‌های از توالی‌های اسید‌آمینه، اندازه‌های مولکولی و خصوصیات را نشان می‌دهند.

کلید واژه‌ها:

۱. DNA لیگازها
۲. دمین زینک فینگر
۳. زیست شناسی

*نویسنده مسئول: هادی علیقلی

آدرس الکترونیکی: hadialigholi@yahoo.com

شناخت

کاتالیز کننده می‌باشد، نامگذاری می‌شوند^(۱)). این عدد چهار رقمی عدد کمیسیون آنزیمی^۲ می‌باشد. عدد اول مشخص کننده نام کلاس آنزیم، عدد دوم مربوط به زیرکلاس آنزیم و عدد سوم و چهارم اختصاصی آنزیم می‌باشد. به طور مثال عدد کمیسیون آنزیمی برای Lیگاز ۱. ۱. ۵. ۶ EC می‌باشد که عدد اول کلاس آنزیم (لیگاز)، عدد دوم زیر کلاس آنزیم (تشکیل باند فسفوپروتئین) و عدد سوم و چهارم اختصاصی آنزیم می‌باشد^(۱). در جدول‌های ۱، ۲، ۳، ۴، ۵ و ۶ طبقه‌بندی زیر کلاس‌های مختلف خانواده لیگاز و زیر کلاس‌های لیگازها بر اساس نوع واکنش مشخص شده است^(۱).

مقدمه

نامگذاری و طبقه‌بندی آنزیم‌های خانواده لیگاز

مطابق با فهرست کمیته نامگذاری اتحادیه بین‌المللی بیوشیمی و بیولوژی مولکولی^۱، آنزیم‌ها به شش کلاس اصلی تقسیم می‌شوند که هر کدام بر اساس نوع واکنشی که کاتالیز می‌کنند دارای زیر کلاس‌های مختلف می‌باشند (جدول ۱).

در این طبقه‌بندی آنزیم‌ها توسط چهار عدد و همچنین یک نام سیستماتیک که مشخص کننده نوع واکنش

جدول ۱- طبقه‌بندی بین‌المللی آنزیم‌ها^(۱).

واکنش کاتالیزی	کلاس	عدد
انتقال الکترون‌ها (یون‌های هیدرید یا اتم‌های H)	اکسیدوردکتازها	۱
واکنش‌های انتقال گروه	ترانسферازها	۲
واکنش‌های هیدرولیز (انتقال گروه‌های عامل به آب)	هیدرولازها	۳
افروden گروه‌ها به پیوندهای دوگانه یا ایجاد پیوندهای دوگانه با برداشت گروه‌ها	لیازها	۴
انتقال گروه‌ها در داخل مولکول‌ها در جهت ایجاد اشکال ایزومری	ایزوهمرازها	۵
تشکیل پیوند در طی واکنش‌های کنداشیون همراه با تجزیه ATP	لیگازها	۶

جدول ۲- زیر کلاس‌های خانواده لیگازها^(۱).

جدول ۴- زیر کلاس‌های EC 6.1.1 (۱).

Number	Name
EC 6.1.1.1	tyrosine-tRNA ligase
EC 6.1.1.2	tryptophan-tRNA ligase
EC 6.1.1.3	threonine-tRNA ligase
EC 6.1.1.4	leucine-tRNA ligase
EC 6.1.1.5	isoleucine-tRNA ligase
EC 6.1.1.6	lysine-tRNA ligase
EC 6.1.1.7	alanine-tRNA ligase
EC 6.1.1.8	deleted
EC 6.1.1.9	valine-tRNA ligase
EC 6.1.1.10	methionine-tRNA ligase
EC 6.1.1.11	serine-tRNA ligase
EC 6.1.1.12	aspartate-tRNA ligase
EC 6.1.1.13	D-alanine-poly(phosphoribitol) ligase
EC 6.1.1.14	glycine-tRNA ligase
EC 6.1.1.15	proline-tRNA ligase
EC 6.1.1.16	cysteine-tRNA ligase
EC 6.1.1.17	glutamate-tRNA ligase
EC 6.1.1.18	glutamine-tRNA ligase
EC 6.1.1.19	arginine-tRNA ligase
EC 6.1.1.20	phenylalanine-tRNA ligase
EC 6.1.1.21	histidine-tRNA ligase
EC 6.1.1.22	asparagine-tRNA ligase
EC 6.1.1.23	aspartate-tRNAAAsn ligase
EC 6.1.1.24	glutamate-tRNAGln ligase
EC 6.1.1.25	lysine-tRNAPyl ligase
EC 6.1.1.26	pyrrolysine-tRNAPyl ligase

نام	شماره
تشکیل پیوند اکسیژن-کربن	EC 6-1
تشکیل پیوند کربن-سولفور	EC 6-2
تشکیل پیوند کربن-نیتروژن	EC 6-3
تشکیل پیوند کربن-کربن	EC 6-4
تشکیل پیوند فسفوریک استر	EC 6-5
تشکیل پیوند نیتروژن-فلز	EC 6-6

جدول ۳- زیر کلاس‌های لیگازها بر اساس نوع واکنش^(۱).

نوع واکنش	شماره
تشکیل پیوند کربن-اکسیژن	EC 6-1
تشکیل آمینوآسیل tRNA و ترکیبات وابسته	EC 6-1-1
تشکیل پیوند کربن-سولفور	EC 6-2
اسید-تیول لیگاز	EC 6-2-1
تشکیل پیوند کربن-نیتروژن	EC 6.3
اسید-آمین لیگاز (Amide Synthases)	EC 6.3.1
(Peptide Synthases)	EC 6.3.2
سیکلو لیگاز	EC 6.3.3
کربن-نیتروژن لیگازهای دیگر	EC 6.3.4
لیگازهای کربن-نیتروژن با گلوتاپین	EC 6.3.5
تشکیل پیوند کربن-کربن	EC 6.4
تشکیل پیوند فسفو دی استر	EC 6.5
تشکیل پیوند نیتروژن-فلز	EC 6.6
تشکیل کمپلکس کونورتنسیون	EC 6.6.1

¹ Nomenclature committee of the international union of biochemistry and molecular biology

² Enzyme commission number

جدول ۵ - زیرکلاس‌های EC 6.2 لیگازها (۱).

Number	Name
EC 6.2.1.1	acetate—CoA ligase
EC 6.2.1.2	butyrate—CoA ligase
EC 6.2.1.3	long-chain-fatty-acid—CoA ligase
EC 6.2.1.4	succinate—CoA ligase (GDP-forming)
EC 6.2.1.5	succinate—CoA ligase (ADP-forming)
EC 6.2.1.6	glutarate—CoA ligase
EC 6.2.1.7	cholate—CoA ligase
EC 6.2.1.8	oxalate—CoA ligase
EC 6.2.1.9	malate—CoA ligase
EC 6.2.1.10	acid—CoA ligase (GDP-forming)
EC 6.2.1.11	biotin—CoA ligase
EC 6.2.1.12	4-coumarate—CoA ligase
EC 6.2.1.13	acetate—CoA ligase (ADP-forming)
EC 6.2.1.14	6-carboxyhexanoate—CoA ligase
EC 6.2.1.15	arachidonate—CoA ligase
EC 6.2.1.16	acetoacetate—CoA ligase
EC 6.2.1.17	propionate—CoA ligase
EC 6.2.1.18	citrate—CoA ligase
EC 6.2.1.19	long-chain-fatty-acid—luciferin-component ligase
EC 6.2.1.20	long-chain-fatty-acid—[acyl-carrier-protein] ligase
EC 6.2.1.21	covered by EC 6.2.1.30
EC 6.2.1.22	[citrate (pro-3S)-lyase] ligase
EC 6.2.1.23	dicarboxylate—CoA ligase
EC 6.2.1.24	phytanate—CoA ligase
EC 6.2.1.25	benzoate—CoA ligase
EC 6.2.1.26	o-succinylbenzoate—CoA ligase
EC 6.2.1.27	4-hydroxybenzoate—CoA ligase
EC 6.2.1.28	3 α ,7 α -dihydroxy-5 β -cholestane—CoA ligase
EC 6.2.1.29	deleted now EC 6.2.1.7
EC 6.2.1.30	phenylacetate—CoA ligase
EC 6.2.1.31	2-furoate—CoA ligase
EC 6.2.1.32	anthranilate—CoA ligase
EC 6.2.1.33	4-chlorobenzoate—CoA ligase
EC 6.2.1.34	trans-feruloyl-CoA synthase
EC 6.2.1.35	ACP-SH:acetate ligase

جدول ۶ - زیرکلاس‌های EC 6.3 لیگازها (۱).

Number	Name
EC 6.3.1.1	Aspartate-ammonia ligase
EC 6.3.1.2	Glutamate-ammonia ligase
EC 6.3.1.3	now EC 6.3.4.13
EC 6.3.1.4	Aspartate-ammonia ligase (ADP-forming)
EC 6.3.1.5	NAD ⁺ synthase
EC 6.3.1.6	Glutamate-ethylamine ligase
EC 6.3.1.7	methylene glutamate-ammonia ligase-4
EC 6.3.1.8	glutathionylspermidine synthase
EC 6.3.1.9	trypanothione synthase
EC 6.3.1.10	adenosylcobinamide-phosphate synthase
EC 6.3.1.11	Glutamate-putrescine ligase
EC 6.3.1.12	D-aspartate ligase
EC 6.3.1.13	L-cysteine:1D-myo-inositol 2-amino-2-deoxy- α -D-glucopyranoside ligase

جدول ۷ - زیرکلاس‌های EC 6-4 لیگازها (۱).

Number	Name
EC 6.4.1.1	pyruvate carboxylase
EC 6.4.1.2	acetyl-CoA carboxylase
EC 6.4.1.3	propionyl-CoA carboxylase
EC 6.4.1.4	methylcrotonoyl-CoA carboxylase
EC 6.4.1.5	geranoyl-CoA carboxylase
EC 6.4.1.6	acetone carboxylase
EC 6.4.1.7	2-oxoglutarate carboxylase

شناخت

اتصال پایانه‌های DNA توسط DNA لیگاز

اتصال قطعات اکازاکی به آنزیمی احتیاج دارد که انتهای دو زنجیره DNA را به هم متصل کند، وجود مولکول‌های DNA حلقی نیز دلیلی بر وجود این آنزیم است. در سال ۱۹۶۷ محققین چندین آرماشگاه به طور همزمان، موفق به کشف DNA لیگاز شدند. این آنزیم ایجاد پیوند فسفودی استر بین گروه هیدروکسیل^{۳'} در انتهای یک زنجیره و گروه فسفات^{۵'} در انتهای زنجیره دیگر را تسريع می‌کند. برای انجام این واکنش که از لحاظ ترمودینامیکی انرژی خواه می‌باشد یک منبع انرژی مورد نیاز است. در یوکاریوت‌ها و آرکئی باکتری‌ها ATP و در باکتری‌ها NAD⁺ منبع انرژی می‌باشند (۵).

سایز لیگازهای وابسته به ATP در محدوده بین ۳۰ kDa تا ۱۰۰ kDa > قرار دارد، اما لیگازهای وابسته به NAD⁺ شباهت بسیار زیادی به یکدیگر دارند و از پروتئین‌های مونومریک ۷۰-۸۰ kDa تشکیل شده‌اند (۶). توالی‌های مشابهی بین دو کلاس DNA لیگازها مشاهده می‌شد تا اینکه اخیراً روی توالی موتیف KxDG متمرکز شده‌اند، این موتیف (I) حفاظت شده یکی از شش توالی co-linear موتیف‌های (I-VI) مشخص شده در جایگاه فعل آنزیم‌های زیر خانواده نوکلئوتیدیل ترانس‌فرازها از جمله tRNA DNA لیگازهای وابسته به RNA، ATP لیگازها، mRNA لیگازها و همچنین آنزیم‌های کلاهک گذار یوکاریوتی می‌باشد (۷، ۸). روش‌هایی که برای شناسایی توالی‌های تکراری جدید به کار گرفته شده است، نشان می‌دهد که ۵ موتیف از این ۶ موتیف در لیگازهای وابسته به NAD⁺ نیز وجود دارد (۹، ۱۰). شواهدی وجود دارد که نشان می‌دهد تعدادی از ویروس‌ها حاوی ژنی هستند که DNA لیگاز خود را کد می‌کنند. این آنزیم‌ها به دو گروه ظاهر می‌شوند؛ یک گروه آنزیم‌هایی هستند که برای فعالیت به NAD⁺ نیاز دارند و گروه دیگر به ATP نیاز دارند. این تفاوت در سوبسترات اختصاصی و ضرورت لیگاز وابسته به NAD⁺ برای بقاء باکتری‌ها ضروری می‌باشد. در همه آنزیم‌های یوکاریوتی منبع انرژی ATP می‌باشد. این آنزیم‌ها تنوع گسترده‌ای از حجم مولکولی را نشان می‌دهند، آنزیم نوع ۱ انسانی ۱۰³ kDa و آنزیم‌های باکتریوفاز T7 ۴۱ kDa وزن مولکولی دارند. DNA لیگاز باکتریوفاز T7 یکی از کوچکترین DNA لیگازهای شناخته شده است (۶).

DNA لیگازها نمی‌توانند دو مولکول DNA تک رشته‌ای را به هم متصل کرده یا DNA تک رشته‌ای را حلقوی کنند. در واقع لیگازها بریدگی‌های مولکول‌های DNA دو رشته‌ای را پر می‌کنند. این آنزیم در *E. coli* معمولاً یک پل فسفودی استر را تنها زمانی به وجود می‌آورد که حداقل چندین باز از DNA تک رشته‌ای در انتهای قطعه

جدول ۸- زیرکلاس‌های EC 6-5 لیگازها (۱).

Number	Name
EC 6.5.1.1	DNA ligase (ATP)
EC 6.5.1.2	DNA ligase (NAD ⁺)
EC 6.5.1.3	RNA ligase (ATP)
EC 6.5.1.4	RNA-3'-phosphate cyclase

جدول ۹- زیرکلاس‌های EC 6-6 لیگازها (۱).

Number	Name
EC 6.6.1.1	magnesium chelatase
EC 6.6.1.2	cobaltochelatase

لیگازها خانواده‌ای از آنزیم‌ها می‌باشند که اتصال دو مولکول بزرگ را به وسیلهٔ تشكیل یک پیوند شیمیایی جدید کاتالیز می‌کنند که معمولاً همراه با هیدرولیز گروه شیمیایی کوچکی است که متصل به یکی از مولکول‌های بزرگ است. به طور معمول لیگازها واکنش زیر را کاتالیز می‌کنند (Ab + C → A-C + b) (Ab + cD → A-D + b + c). لیگازها همچنین سینتیز نیز نامیده می‌شوند زیرا برای ترکیب مولکول‌های جدید به کار می‌روند (۲).

DNA لیگازها یک نوع خاص از لیگازها (EC 6.5.1.1) می‌باشند که می‌توانند دو رشته DNA را که هر دو رشته دچار بریدگی شده‌اند را به هم متصل نمایند. DNA لیگاز یک آنزیم سلولی حیاتی است که برای تعدادی از فرایندهای مهم از جمله رونویسی ترمیم آسیب دیده، نوترکیبی زن ایمونوگلوبولین، ویرایش RNA^{۳'} و اتصال قطعات اکازاکی مورد نیاز می‌باشد. DNA لیگاز یک آنزیم ضروری برای همه سلول‌ها است به طوری که شکاف‌های موجود در چهارچوب فسفات‌قند DNA را به هم می‌چسباند (۴-۶). DNA لیگازها اتصال دهنده قطعات اکازاکی اصلاح شده در طول رونویسی نیز بوده و سنتز در طی فرایند ترمیم DNA را برای مدت کوتاهی کامل می‌کنند. DNA لیگاز دو رشته DNA را به صورت کووالانسی به هم متصل می‌کند (۶). DNA لیگازها همچنین به طور گسترده به عنوان ابزاری در دستکاری DNA و کلونینگ در آزمایشات in vitro مورد استفاده قرار می‌گیرند. این آنزیم‌ها می‌توانند به دو کلاس تقسیم شوند، یک دسته آنزیم‌هایی که به کوفاکتور NAD⁺ نیاز دارند و دسته دیگر آنزیم‌هایی هستند که به کوفاکتور ATP نیاز دارند. DNA لیگازهای یوکاریوتی، ویروس‌ها و آرکئی باکترها از کوفاکتور ATP استفاده می‌کنند و تنها در یوباکترها NAD⁺ به عنوان کوفاکتور DNA لیگاز استفاده می‌شود (۶، ۷).

^۳ RNA editing

تشکیل AMP لیگاز

DNA لیگازها حاوی یک دمین OB-fold^۵ با ۵ رشتہ - barrel β می باشند که از امتداد یافتن C-ترمینال دمین NTase^۶ به وجود آمداند. در ساده‌ترین DNA لیگازها از جمله DNA لیگاز باکتریوفاژ T7 و ویروس Chlorella DNA دو دمین NTase و OB قادر به انجام همه مراحل لیگاز هستند (۳، ۱۱، ۱۲).

DNA لیگازهای وابسته به ATP از همکاری باقی‌مانده‌های حفاظت شده بر روی دمین OB در تشکیل حد واسط AMP لیگاز استفاده می‌کنند. در مقایسه با DNA لیگازهای وابسته به ATP، DNA لیگازهای وابسته به NAD⁺ نمی‌توانند از همکاری دمین OB در تشکیل حد واسط AMP لیگاز استفاده کنند. DNA لیگازهای وابسته به NAD⁺ از مکانیسم‌های مختلفی استفاده می‌کنند که در آن‌ها باقی‌مانده‌های مورد نیاز از امتداد یافتن N-ترمینال دمین NTase به وجود می‌آیند، که دمین Ia نامیده می‌شود (۴، ۱۳، ۱۴). بنابراین هردو دسته DNA لیگازهای وابسته به ATP و NAD⁺ از دمین‌های معینی برای تشکیل AMP لیگاز استفاده می‌کنند اما هرکدام از این دو دسته لیگازها از دمین‌های و مکانیسم‌های کاملاً متفاوتی استفاده می‌کنند. بعد از تشکیل حد واسط AMP لیگاز، چرخش پیوسته دمین‌های Ia و OB از ناحیه AMP اجازه حمله به DNA وارد شده را می‌دهند. اخیراً ساختمان‌های کریستالی جدیدی که از DNA لیگازهای وابسته به ATP و NAD⁺ به دست آمده است نشان می‌دهند که دمین OB می‌تواند یک موقعیت فعال ثانویه نیز در طی مرحله وابسته به ATP ایجاد نماید (۶). در مقایسه با DNA لیگازها، RNA لیگازها نمی‌توانند از دمین‌های معینی در تشکیل AMP لیگاز استفاده کنند، برای مثال RNA لیگاز ۱ و ۲ باکتریوفاژ T4 در تشکیل حد واسط AMP لیگاز فقط از دمین NTase استفاده می‌کنند (۶).

شناسایی شکاف به وسیله DNA لیگاز

شکاف DNA به طور معمول دارای فسفات' ۵ و هیدروکسیل' ۳ در ضلع‌های مقابل هم در ناحیه شکسته شده در چهار چوب DNA است. Shuman و همکارانش نشان دادند که گروه فسفات' ۵ برای شناسایی شکاف توسط لیگازهای وابسته به ATP کاملاً ضروری است اما گروه هیدروکسیل' ۳ ضروری نیست. در هنگام تشکیل کمپلکس شکاف، اگر شکاف فاقد گروه فسفات' ۵ باشد، کمپلکس شکاف دچار کاهش قابل توجهی می‌شود. لیگازها همچنین تفاوت بین شکاف و فاصله را تشخیص می‌دهند. فاصله‌های بیشتر از ۱ nt < در ناحیه شکاف را از بین می‌برند (تصویر ۲) (۶، ۱۵).

^۴ Nicotinamide mononucleotide

^۵ Oligonucleotide/oligosaccharide-binding

^۶ Nucleotidyl transferase domain

دو رشتہ‌ای وجود داشته باشد و در نزدیکی بازهای تک رشتہ‌ای قطعه DNA قرار بگیرد تا تشکیل جفت باز را میسر سازد. لیگاز رمز شده به وسیله باکتریوفاژ T4 می‌تواند دو قطعه دو رشتہ‌ای مارپیچی را که دارای انتهای کور هستند را به هم متصل کند که این توانایی در فناوری نوترکیب به کار گرفته شده است. لیگازها نقش اساسی در گسترش زیست مولکولی و بیوتکنولوژی ایفاء می‌کنند (۲، ۳، ۶).

واکنش DNA لیگاز

DNA لیگازها اتصال یک رشتہ DNA با گروه هیدروکسیل' ۳ آزاد را به رشتہ دیگر با گروه فسفات' ۵ آزاد کاتالیز می‌کنند. در یوکاریوت‌ها و آرکی باکتری، ATP به AMP و PPi تجزیه می‌شود تا این واکنش پیش رود. در باکتری‌ها، NAD⁺ به AMP و نیکوتین آمید مونونوکلئوتید (NMN)^۴ تجزیه می‌شود (۶).

مکانیسم واکنش لیگازها

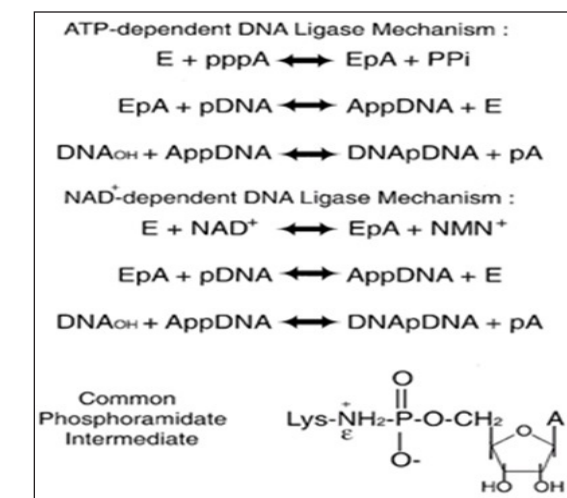
واکنش لیگازها در سه مرحله رخ می‌دهد (تصویر ۱).

مرحله ۱ - ناحیه فعال زنجیره جانبی لیزین به ATP یا NAD⁺ حمله می‌کند (باند N-P)، واکنش حد واسط AMP لیگاز تشکیل می‌شود و PPi یا NMN آزاد می‌شود.

مرحله ۲ - گروه AMP از لیگاز به گروه فسفات' ۵ متصل می‌شود و واکنش حد واسط AMP-نوكلئیک اسید (AMP-NA) تشکیل می‌شود.

مرحله ۳ - گروه هیدروکسیل انتهای' ۳ به گروه فسفات انتهای' ۵ حمله می‌کند و AMP آزاد می‌شود.

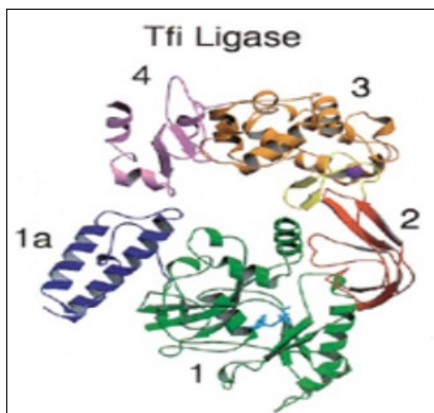
در لیگازهای یوکاریوتی کمپلکس AMP-آنزیم پس از واکنش آنزیم و ATP با آزاد شدن پیروفسفات‌های آزاد شده تشکیل می‌شود. آدنیلاسیون لیگازهای باکتریایی نیز در واکنش‌های غیر معمولی که با تقسیم NAD⁺ و آزاد شدن نیکوتین آمید مونونوکلئوتید شروع می‌شود صورت می‌گیرد (۶، ۱۰).



تصویر ۱ - مکانیسم واکنش DNA لیگاز (۶).

شیرخچه

کمپلکس با سوبسترا (NAD^+) یا محصول (NMN) مرحله اول آدنیلاسیون هستند، وجود دارد. به طور قابل توجهی کمپلکس (NMN) کریستاله شده می‌تواند به کمپلکس NAD^+ تبدیل شود^(۱۶).



تصویر ۳ - لیگاز وابسته به NAD^+ در *Thermus filiformis*^(۶)

لیگاز وابسته به NAD^+ در *E. coli* DNA

لیگاز وابسته به NAD^+ در باکتری‌ها دارای ساختارهای چند دمینی هستند که دمین‌های OB و NTase هسته این آنزیم‌ها را تشکیل می‌دهند ولی با DNA وجود ساختارهای کاملاً متفاوتی نسبت به لیگاز وابسته به ATP در یوکاریوت‌ها دارند. در این دسته از آنزیم‌ها دمین N-ترمینالی Ia تشكیل AMP برآید و دمین C-ترمینالی هستند که از گسترش دمین OB به وجود آمداند و شامل دمین‌های Zn²⁺ و HhH⁺ در *Drosera* هستند. آنالیزهای بیوشیمیایی که روی لیگاز *filiformis* انجام شده است نشان می‌دهد که دمین BRCT در آزمایشات *in vitro* و اکنش لیگاز ضروری *in vivo* نیست، از طرفی عملکرد این دمین در آزمایشات ⁹LigA *E. coli* در HhH⁺ نیز آشکار نشده است. دمین Zn²⁺ به وجود آمده از امتداد یافتن دمین‌های OB و Zn²⁺ به وجود آمده است و به دمین NTase متصل شده است، این دمین یک گیره^{۱۰} پروتئینی ایجاد می‌کند که DNA را در بر می‌گیرد. دمین Zn²⁺ نیز سبب تشکیل یک پل بین دمین‌های OB و HhH⁺ در LigA می‌شود. دمین HhH⁺ در LigA، همچنین دمین DBD¹¹ در LIG1¹² با وجود اینکه فولدی‌های پروتئینی کاملاً متفاوتی دارند اما دارای نقش عملکردی مشابهی هستند^(۳، ۱۷، ۱۸).

لیگاز وابسته به ATP در ویروس *Chlorella* DNA

لیگاز ویروس *Chlorella* DNA دارای دو دمین ساختاری OB و NTase می‌باشد. ساختمان کریستالی حد واسطه لیگاز در این ویروس در ناحیه شکاف DNA با

مکانیسم شناسایی شکاف و عملکرد DNA لیگاز

۱- اتصال NAD^+ یا ATP در فروفتگی نوکلئوتید که به دنبال بسته شدن دمین ۲ صورت می‌گیرد.

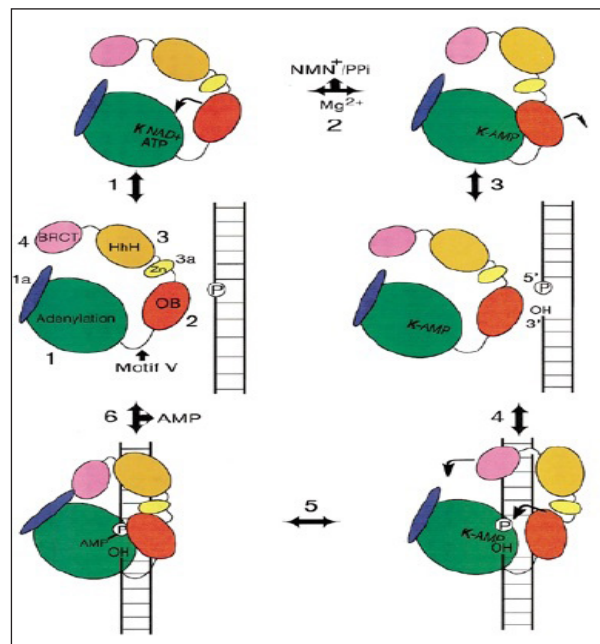
۲- با وارد شدن Mg²⁺ و رها شدن NMN⁺ یا PPi و اکنش ترانس آدنیلاسیون، AMP به جایگاه فعال لیزین منتقل می‌شود.

۳- باز شدن دمین ۲ و آماده شدن آنزیم برای بستن شکاف.

۴- اتصال آنزیم آدنیله شده به شکاف DNA و بسته شدن دمین ۲ در ناحیه شکاف (در لیگازهای بزرگ از جمله لیگاز *Tfi*⁷، علاوه بر این دمین‌ها ممکن است پیچ و تاپ‌هایی نیز در اطراف DNA وجود داشته باشد).

۵- انتقال AMP به ناحیه فسفات ۵' شکاف.

۶- گروه هیدروکسیل انتهای ۳' به گروه فسفات انتهای ۵' شکاف حمله می‌کند و یک باند فسفودی استر تشکیل می‌شود و شکاف همراه با آزادشدن AMP بسته می‌شود.



تصویر ۲ - مکانیسم شناسایی شکاف به وسیله DNA لیگاز^(۶).

ساختمان DNA لیگاز وابسته به NAD^+ در باکتری‌ها

ساختمان DNA لیگاز باکتری *Thermus filiformis* شامل یک بخش هسته مانند (nucleotide-binding-OB-fold) است که به دمین‌های zinc finger و Dm1 C-ترمینال متعلق شده است (تصویر ۳). دو ساختمان کریستالی مشابه با ساختمان لیگاز وابسته به NAD^+ در باکتری *Enterococcus faecalis* است که تغییر قابل توجهی در ساختمان آن‌ها که در

⁷ *Thermus filiformis*

⁸ Helix-hairpin-helix

⁹ Ligase A

¹⁰ Clamp

¹¹ DNA-binding domain

¹² LIG1 DNA ligase 1 (human)

سه β -sheet غیر موازی است که توسط α -helix احاطه شده‌اند. دمین ۱ همچنین دارای ناحیه اتصالی برای ATP است که در زیر فروفتگی یکی از β -sheet‌ها قرار گرفته است (تصویر ۵).^(۶)

Wigley و Doherty نشان دادند که دمین ۱ به طور ذاتی فعالیت آدنیلاسیون دارد، بنابراین این دمین را دمین آدنیلاسیون می‌نامند. همچنین در آنزیم‌های کلاهک Bst ^{۱۵} و دمین‌های N-Terminal لیگازهای $PBCV-1$ ^{۱۶} و Tfi و در تعداد دیگری از آنزیم‌های که به ATP و GTP متصل می‌شوند نیز دمین ۱ مشاهده می‌شود. دمین ۱ لیگازهای وابسته به NAD⁺ همچنین دارای زیر دمین ۱a (آبی) است که بیشتر در α -helix T7 مساحتار در لیگاز T7 مشاهده نمی‌شود.^(۶، ۲۰، ۲۱)

تعدادی از باقی‌ماندهایی که در فروفتگی ناحیه اتصالی دمین آدنیلاسیون لیگازهای T7، Bst و Tfi و قرار دارند، متعلق به ۵ موتیف (موتیف‌های I-V) از ۶ توالی حفاظت شده در نوکلئوتیدیل ترانسفرازها هستند. این موتیف‌ها حاوی باقی‌ماندهای شناخته شده‌ای هستند که برای کاتالیز ضروری می‌باشند. بررسی موقعیت این موتیف‌ها در داخل ساختمان DNA لیگازها نشان داد که این موتیف‌ها به صورت خوش در اطراف ناحیه اتصالی قرار می‌گیرند. تعدادی از باقی‌ماندها در داخل ATP این موتیف‌ها بر هم‌کنش‌های خاصی با ایجاد می‌کنند.^(۶، ۲۲)

لیگاز ۱ انسان (LIG1) لیگاز وابسته به ATP

ساختمان کریستاله شده LIG1 اولین ساختمان لیگازهای پلی نوکلئوتیدی شناخته شده است که یک بینش جدیدی از عملکرد دمین‌های OB و NTase دارند. واحدهای کاتالیتیکی LIG1 انسان را ارائه می‌دهد. واحدهای کاتالیتیکی LIG1 (باقی‌ماندهای ۹۱۹-۲۳۳) در کمپلکس با حد واسط AMP-DNA هستند. در LIG1 که با DNA کمپلکس شده است، دمین‌های NTase و OB به پروتئین سطحی که نزدیک به شکاف DNA است و در شیار کوچک قرار دارد متصل شده است. دمین NTase به سمت ۳' شکاف DNA متصل شده است و بین چهارچوب فسفو دی استر رشته شکسته شده و رشته DNA سالم ارتباط برقرار می‌کند، از طرفی باقی‌ماندهای حفاظت شده در شیار کوچک نزدیک به شکاف DNA قرار می‌گیرند. این باقی‌ماندها در موقعیت OH انتهای ۳' سوبسترا در داخل جایگاه فعلی قرار می‌گیرند. دمین NTase در موقعیت ۵' شکاف قرار می‌گیرد و اصولاً به گروه AMP متصل شده است. دمین OB در LIG1 نیز با قرار گرفتن در انتهای ۵' شکاف، به بسته شدن شیار کوچک منجر می‌شود و یک ارتباط وسیعی را بین چهارچوب فسفو دی استر رشته سالم و رشته شکسته شده DNA

پایانه‌های فسفات ۵' و هیدروکسیل ۳' نشان داده شده است. در حالتی که لیگاز Chlorella با DNA کمپلکس تشکیل می‌دهد، گروه AMP و باقی‌ماندهایی از دمین NTase در محل فسفات انتهای ۵' سوبسترا قرار دارند. این بر هم‌کنش‌ها یک اساس فیزیکی برای تعیین مولکول‌هایی است که به صورت طبیعی توانایی شناسایی شکاف در لیگاز Chlorella را دارند، این مولکول‌ها شامل حد واسط AMP لیگاز و گروه فسفات انتهای ۵' هستند.^(۳، ۱۹) دمین‌های NTase و LigA در لیگاز Chlorella در حالتی مشابه با OB و LIG1 مولکول DNA را در بر می‌گیرند و موقعیت دمین‌های OB و NTase را در یک حالت پایدار در طول مرحله ۲ و ۳ واکنش تعیین می‌کنند. دمین OB در لیگاز Chlorella حاوی ۳۰ باقی‌مانده در سطح لوپ می‌باشد که تعیین کننده محل بست^(۱۳) است. در انتهای محل بست دمین NTase قرار دارد.^(۱۳، ۳) در تصویر ۴ ساختمان کریستالی و کونفورماسیون فعلی DAN و RNA LIG1 لیگازها مشاهده می‌شود. در این تصویر (a): ساختمان کریستالی LIG1 دمین DBD (DBD. *solfatricus*) می‌باشد (زرد) در حالت باز، باعث رسیدن به کونفورماسیون می‌شوند. (b): ساختمان کریستالی DNA LIG1 نشان داده شده است که کونفورماسیون OB فوراً به دنبال تشکیل ligase-AMP می‌شود. در این ساختار اتصال AMP (آبی) با جایگاه فعلی لیزین به صورت کووالان نیست. (c): ساختمان کریستالی AMP-DNA انسانی متصل شده به حد واسط LIG1 تغییر وضعیت دمین OB بین سه حالت (a)، (b) و (c) وابسته به موقعیت دو هلیکس دومین OB است که با c و * مشخص شده‌اند. (d): ساختمان کریستالی دمین E. Ia (خاکستری) و دمین NTase (سبز) LIG1 دمین facealis (e): ساختمان کریستالی حد واسط ligase-AMP DNA T. filiformis در کونفورماسیون باز، با جایگاه فعلی آزاد NTase متصل شده به (f): ساختمان کریستالی E. coli LigA در DNA با حد واسط AMP. تغییر در ترتیب دمین‌ها در بین دو حالت (e) و (f) وابسته به موقعیت دو هلیکس در دمین OB است.^(۱۱) (g): ساختمان و یک هلیکس در دمین HhH (آنالوگ AMPcPP، T4 باکتریوفاژ) در دمین C (آبی) متصل شده به جایگاه فعلی. تنها دمین T-terminal به رنگ آبی تیره. (h): ساختمان کریستالی LIG2 باکتریوفاژ T4 RNA متصل شده به هیبرید RNA/DNA.

ساختمان لیگاز باکتریوفاژ T7

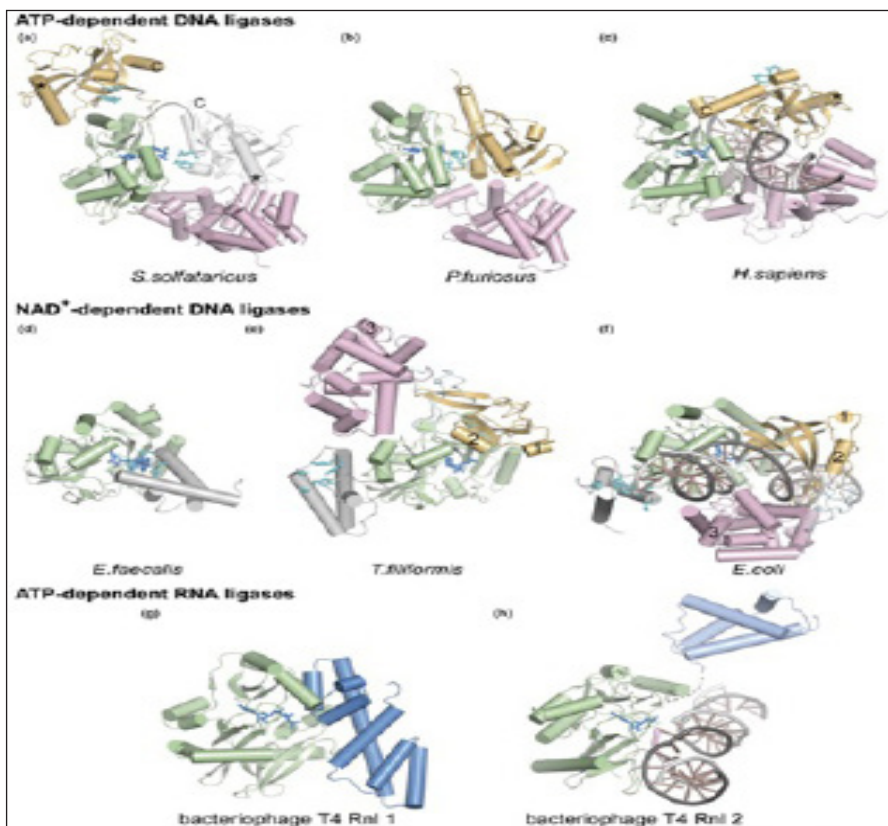
ساختمان لیگاز باکتریوفاژ T7 نشان می‌دهد که این آنزیم حاوی دو دمین است (تصویر ۵)، دمین ۱؛ دمین Bزرگ N-Terminal (سبز) و دمین ۲؛ دمین کوچک C-Terminal (قرمز). دمین ۱ (باقی‌ماندهای ۲۴۰-۱) شامل

¹³ Latch

¹⁴ Paramecium bursaria chlorella virus 1

¹⁵ Bacillus stearothermophilus

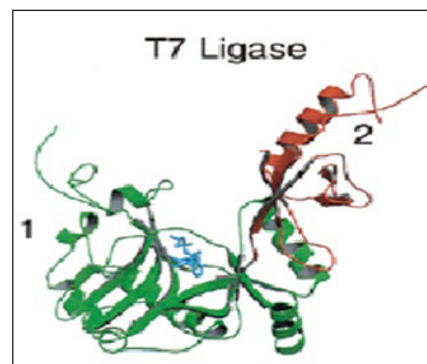
شتر ختم

تصویر ۴- ساختمان کریستالی و کونفورماتیون فعال DNA و RNA لیگازها.^(۳)

با چرخش دمین OB نسبت به دمین اتصالی نوکلئوتید، با هم جفت می‌شوند. این ساختار گذرا به خوبی با استفاده از ساختمان کریستالی آنزیم‌های کلاهک گذاری mRNA در ویروس *Chlorella* نشان داده شده است. دو مولکول از آنزیم‌های کلاهک گذار در ساختار متفاوت کریستاله شده‌اند که به دو حالت فعال و غیر فعال دیده می‌شوند، در ساختار غیر فعال موتیف VI خارج از جایگاه فعال قرار دارد اما در ساختار فعال، دمین OB به موتیف VI اجزاء می‌دهد که در جایگاه فعال قرار گیرد. موتیف VI که در نوکلئوتیدیل ترانسفرازها به صورت حفاظت شده است باعث هماهنگ کردن α و β فسفاتاز می‌شود، در ساختار غیر فعال موتیف VI که در نوکلئوتیدیل ترانسفرازها به صورت حفاظت شده است باعث هماهنگ کردن α و β فسفاتاز می‌شود.

DNA لیگاز‌های چند دمینی

در ساختمان کریستالی به دست آمده از DNA لیگاز ۱ انسان علاوه بر اینکه دمین اتصالی DNA (DBD) DNA جدیدی شناسایی شد، نشان داده شد که این آنزیم سوبسکترهای DNA را نیز احاطه می‌کند. توالی آمینواسیدی ناحیه DBD در DNA لیگاز‌های وابسته به ATP در یوکاریوت‌ها حفاظت شده است و این ناحیه برای فعالیت آنزیمی لیگاز‌های چند دمینی مورد نیاز است (۲۵-۲۷). شباهت ساختمانی بین DNA، DBD،

تصویر ۵- لیگاز وابسته به ATP در باکتریوفاژ T7.^(۶)

ایجاد می‌کند (۳). DNA لیگاز‌های وابسته به ATP در یوکاریوت‌ها، ساختمان چند دمینی دارند که علاوه بر هسته کاتالیکی که حاوی دمین‌های NTase و OB است، یک α -هیلیکس N-ترمینالی نیز دارند که از امتداد یافتن DBD به وجود آمده است. در LIG1 انسان سبب تحریک دمین‌های NTase و OB جهت افزایش فعالیت کاتالیکی این دمین‌ها می‌شود (۳، ۲۳).

تغییر ساختار نوکلئوتیدیل ترانسفرازها

با وجود شباهت ساختمان هسته DNA لیگاز‌های وابسته به NAD⁺ و آنزیم‌های کلاهک گذار، این آنزیم‌ها طی واکنش دچار تغییر ساختار می‌شوند. DNA لیگاز‌های وابسته به ATP و آنزیم‌هایی که ATP وابسته به GTP را کلاهک گذاری می‌کنند فاقد دمین ۱a ناحیه اتصالی NMN هستند، در عوض مراحل ۱ و ۲

لیگاند چهار وجهی در آمده است. موتیف zinc finger زیر دمینی (۳a) از دمین ۳ لیگاز *Tfi* است. این احتمال وجود دارد که همه لیگازهای وابسته به NAD⁺ دارای Zinc finger های مشابه باشند. Zinc finger ها و موتیفهای finger وابسته به آنها در شناسایی DNA نقش دارند و اغلب توالی های خاص DNA را شناسایی می کنند (۳۲).

موتیف HhH

Doherty و همکارانش نشان دادند که چهار کپی حفاظت شده از موتیف HhH در C-ترمینال لیگازهای وابسته به NAD⁺ حضور دارد. این موتیف حاوی دو β-turn هلیکس با طول حفاظت شده است که توسط نوع ۲ متصل می شود. موتیفهای HhH در تعداد زیادی از آنزیم هایی که در ترمیم DNA شرکت می کنند حضور دارند، از جمله در آنزیم های اندونوکلئوس III، A1kA، MutY DNA پلی مراز β و RuvA مشاهده می شود. اخیراً تعیین ساختار لیگاز *Tfi* که لیگازهای وابسته به NAD⁺ هستند وجود چهار موتیف HhH را در این ساختارها تأیید می کند (۳۳-۳۵).

دمین BRCT

اخیراً یک موتیف نهایی در هر دو نوع لیگاز (هم وابسته به ATP و هم وابسته به NAD⁺) شناسایی شده است که جزوی از زیر خانواده دمین BRCT است. دمین های BRCT در لیگازهای وابسته به NAD⁺ و لیگاز III و IV یوکاریوتی حضور دارند. دمین BRCT اولین بار در ساختمان لیگاز *Tfi* شناسایی شده است و به نظر می رسد که بخشی از پروتئین های چند دمینی باشد. دمین BRCT در لیگاز *Tfi* حاوی چهار β-sheet است که توسط سه α-helix احاطه شده است. این دمین مشابه دمین XRCC1 در C-ترمینال پروتئین ۱^{۱۶} است. XRCC1 یک پروتئین چند دمینی است که در ترمیم شکسته ای تک رشتہ DNA نقش دارد. دمین BRCT پروتئین XRCC1 با دمین های XRCC4 در C-ترمینال لیگاز III پستانداران کمپلکس تشکیل می دهد. لیگازهایی که در ترمیم DNA نقش دارند از جمله لیگاز IV، با پروتئین XRCC4 که از جمله پروتئین های است که در فرایند ترمیم DNA نقش دارد، بر هم کنش دارد که این بر هم کنش از طریق تکرارهای مکرر موتیف BRCT صورت می گیرد. این بر هم کنش ها به صورت ساختمانی ظاهر می شوند و احتمالاً کمپلکس های DNA لیگاز نواحی از آسیب دیده را به وسیله بر هم کنش پروتئین -پروتئین به کار می گیرند. همچنین ممکن است دمین های BRCT باعث انتقال سیگنال های پیدا شده در DNA آسیب دیده به دیگر اجزاء مکانیسم های ترمیم DNA شود که از طریق بر هم کنش های پروتئین -پروتئین خاصی صورت می گیرد. ساختمان کریستالی لیگاز *Tfi* نشان می دهد

لیگاز ۱ انسان و دمین HhH لیگاز باکتریایی و همچنین ناحیه Fعال دمین HhH نشان می دهد که لیگازهای وابسته به NAD⁺ می توانند سوبستراهای DNA را احاطه کنند (۲، ۱۸).

دمین OB-fold

در همه DNA لیگازها دمین ۱ آدنیلاسیون به دمین ۲ حفاظت شده متصل شده است. دمین OB-fold علاوه بر اینکه در ساختمان DNA لیگاز *T7* و *Tfi* وجود دارد در ساختمان تعدادی از پروتئین ها که به DNA رشته ای و دو رشته ای RNA متصل می شوند نیز وجود دارد. این دمین در انواع مختلف پروتئین های نیز مشاهده شده است، از جمله در پروتئین های ریبوزومی باکتریایی آغازی رونویسی A، S1 و S7، زیر واحد های پروتئین رونویسی IF1، فاکتورهای آغازی tRNA و CspB، CspA، انتهای تلومر پروتئین های اتصالی، پروتئین نوترکیب SSB، فاکتور RuvA DNA و چندین tRNA سنتراز مشاهده شده است (۶، ۲۸-۳۱). تعدادی از این دمین ها به لیگاندهای خود در سطح β-barrel متعلق می شوند (۳۱). مطالعات بیوشیمیابی نشان می دهد که دمین OB لیگاز *T7* به DNA دو رشته ای متصل می شود و باعث افزایش فعالیت آدنیلاسیون در دمین ۱ می شود. در ساختمان لیگاز *T7* دمین OB در فاصله نسبتاً دوری از دمین ۱ قرار دارد، بنابراین دمین ۲ برای تحریک فعالیت آدنیلاسیون دمین ۱ باید متholm تغییرات ساختاری عمیقی شود. دو ساختمان کریستالی به دست آمده از آنزیم های کلاهک گذار mRNA، شواهد قطعی برای این قبیل تغییرات ساختاری هستند که در طول واکنش گوانیلاسیون در آنزیم های کلاهک گذار رخ می دهد. این واکنش معادل واکنش آدنیلاسیونی است که توسط Lیگازها کاتالیز می شود. در طی این تغییرات ساختاری که در آنزیم های کلاهک گذار PBCV-1 رخ می دهد، باقی مانده های حفاظت شده ای در محل دمین OB قرار دارند. موتیف VI رشتہ انتهایی دمین ۲ را احاطه کرده است. دو باقی مانده (R295, R298) از موتیف های V و VI مشاهده می شود که در محل دمین ۲ قرار دارند. موتیف VI رشتہ انتهایی دمین ۲ را احاطه کرده است. دو باقی مانده (R295, R298) از تری فسفات GTP متصل شده اند که این اتصال برای حمله مستقیم به جایگاه فعال لیزین به کار می رود.

موتیف zinc finger

چهار باقی مانده حفاظت شده سیستئین (Cys406, Cys409, Cys422, Cys 427) در ناحیه C-ترمینال لیگازهای وابسته به NAD⁺ مشاهده شده است که بر اتصالات zinc و برهم کنش آنها با DNA دلالت می کند. *Tfi* با استفاده از اسپکتروسکوپی^{۱۷} اتصالات zinc در لیگاز *Tfi* با استفاده تأیید شده است. در ساختمان لیگاز *Tfi* با استفاده از چهار باقی مانده حفاظت شده سیستئین به صورت

¹⁶ Spectroscopy

¹⁷ X-ray repair cross-complementing protein 1

شتر ختم

این‌ها این باقیمانده‌ها در آنزیم‌های کلاهک گذار متعدد هستند اما هیچ گاه Glu و Asp و Gln نیستند (۶، ۳۸).

Shuman و Ho پیشنهاد کردند که همه نوکلئوتیدیل ترانسفرازها از یک جد مشترک منشأ گرفته‌اند، و احتمالاً آنزیم‌های متصل کننده RNA های قدیمی هستند. بیشتر مطالعاتی که بر روی RNA لیگازها صورت گرفته است به RNA لیگاز ۱ در باکتریوفاژ (T4 Rnl1) متمرکز شده است، که یک خانواده کوچکی از RNA لیگازها است که در برخی یوکاریوت‌ها و ویروس‌های یوکاریوت تقسیمات نزدیک به هم دارد. اگرچه Rnl1 نمونه ضعیفی برای نوکلئوتیدیل ترانسفراز‌های اجدادی است اما بخش کوچکی از توالی‌های آن با DNA لیگازها و آنزیم‌های کلاهک گذار RNA همولوژی دارد و تنها موتیف‌های I، IV، V، ۷، نوکلئوتیدیل ترانسفرازها محفوظ مانده است. اخیراً نیز RNA لیگاز ۲ (Rnl2)، لیگاز دیگری است که از باکتریوفاژ T4 به دست آمده است. برخلاف Rnl1، Rnl2 توالی‌های مشابهی با DNA لیگاز و آنزیم‌های کلاهک گذار RNA دارد که شامل موتیف‌های حفاظت شده I، III، IIIa، IV، V است. نوکلئوتیدیل ترانسفرازها است (۶، ۳۹).

نوکلئوتیدیل ترانسفرازها مکانیسم‌های پایه‌ای مشابهی دارند که در مورد RNA لیگاز وقتی شروع می‌شود که مولکول ATP به وسیله گروه نوکلئوفیل لیزین متصل می‌شود و آدنیلاسیون آنزیم و رها شدن پیروفسفات اتفاق می‌افتد. آنزیم بارگذاری شده سپس نیمی از AMP را به انتهای فسفات ۵' منتقل می‌کند و پس از آن پیوند فسفو آن‌هیدرید تشکیل می‌شود (۶، ۳۹).

گیره‌های پروتئینی لیگاز

گیره‌های پروتئینی در طی چندین مکانیسم به وسیله DNA لیگازها شکل می‌گیرند و با استفاده از دمین‌های مختلف و اجسام ساختمانی که از امتداد یافتن نواحی مختلف NTase و OB به وجود آمده‌اند، DNA را احاطه می‌کنند. در لیگاز Chlorella، در حالتی که بست شده است، برآمدگی‌های دمین OB با سوبسترای DNA هم‌کنش دارد و دمین OB به دمین NTase متصل شده است. دمین HhH باکتری‌ها از امتداد یافتن C-ترمینال دمین‌های DBD و OB به وجود آمده است، در حالی که دمین‌های NTase و OB یوکاریوت‌ها از امتداد یافتن N-ترمینال دمین‌های DBD یوکاریوت‌ها از امتداد یافتن E. coli LigA (e) لیگاز Chlorella پیکان دو سر نشان دهنده نقطه انصصال در گیره‌های لیگاز است. (b) (d) دمین HhH سوبسترها را در مجاورت DBD لیگاز ۱ انسان نشان می‌دهد. (f) قفل شدن لیگاز Chlorella

که دمین BRCT در کونفورماسیون باز بسیار متحرک می‌باشد در حالی که این حرکت در کونفورماسیون بسته وجود ندارد (۶، ۳۷).

در لیگاز Bst، موقعیت زیر دمین ۱a و بسته به زیردمین ۱b در N-ترمینال است. زیردمین ۱a لیگاز با زاویه ۹۰ درجه اطراف Pro68 می‌چرخد که این حالت در لیگاز Tfi هم دیده شده است. Lee و همکارانش نشان دادند که زیر دمین ۱a در لیگاز Tfi موقعیت مشابه به لیگاز BRCT اتخاذ می‌کند و سپس با دمین Bst بر هم کنش می‌دهد. همچنین ممکن است دمین ۱a در helix B در دمین BRCT در حالتی که با helix A تشکیل می‌دهد (۳۷).

مکانیسم کاتالیتیکی حفاظت شده برای DNA لیگازها و نوکلئوتیدیل ترانسفراز

DNA لیگازها مشابه آنزیم‌های خانواده نوکلئوتیدیل ترانسفرازها از حد واسطه‌ای کووالان AMP-آنزیم تشکیل شده‌اند که در آن‌ها از طریق لیزین به آنزیم متصل می‌شود. این لیزین قسمتی از موتیف ۱ حفاظت شده است که در آنزیم‌های کلاهک گذار، RNA tRNA لیگازها و tRNA نیز پیدا شده است.

Schwer و Shuman پیشنهاد کردند که این آنزیم‌ها بخش معمول مکانیسم نوکلئوتیدیل ترانسفرازها هستند و احتمالاً ساختمان‌های مشابهی نیز دارند (۴). این مسئله از طریق آنالیزهای بیوشیمیابی آنزیم‌های موتاسیون یافته نیز تأیید شده است و اخیراً با استفاده از ساختمان DNA لیگاز T7 و آنزیم‌های کلاهک گذار RNA ویروس Chlorella و همینطور دمین ۱ در N-ترمینال لیگاز Bst و لیگاز Tfi نیز این مسئله تأیید شده است. بررسی موقعیت توالی‌های حفاظت شده موتیف در ساختمان DNA لیگاز و آنزیم‌های کلاهک گذار نشان داد که این آنزیم‌ها به صورت خوش‌اطراف نواحی اتصالی NTP قرار گرفته‌اند، از طرفی فرم جانبی شیار بین دمین I و II را نیز تشکیل می‌دهند. ساختمان کریستالی لیگازهای T7 و Tfi نقش حفاظت شده‌ای را برای تعدادی از این باقیمانده‌ها در این موتیف‌ها نشان داده‌اند. بررسی توالی‌های گذار و جفت شدن این آزمایشات با ساختمان‌های کریستالی اطلاعاتی راجع به چگونگی دست یافتن به نوکلئوتیدهای اختصاصی را نشان می‌دهد (۳۹). دو بر هم کنش مهم بین گروه 6-amino-حلقه آدنین و لیگازها وجود دارد؛ یکی از طریق زنجیره اصلی کربونیل E32/E114 I133/H115 و دیگری از طریق زنجیره جانبی Gln ای Asp ATP باسته به گاهی اوقات در لیگازهای باقیمانده آخر معمولاً است ولی Gln یا Asp باسته به Lys می‌تواند حضور داشته باشد. اما در مقایسه با

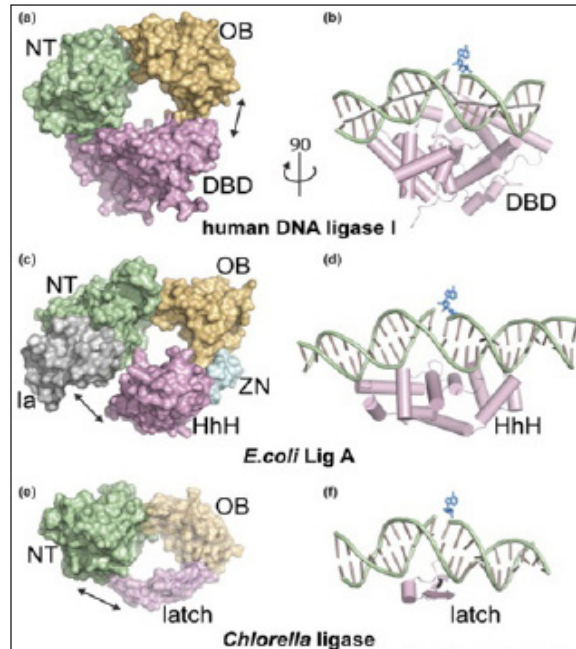
که در اثر موتاسیون در یک باز از β -globin به وجود می‌آید (۴۲، ۴۳).

کاربرد DNA لیگاز در زیست مولکولی

DNA لیگاز ابزار مناسبی در زیست مولکولی برای تولید DNA های نوترکیب است، برای مثال DNA لیگازها همراه با آنزیم‌های محدود کننده برای انتقال یک قطعه DNA (اغلب β -زن) به درون پلاسمید به کار می‌روند. DNA لیگاز در فرایندهای مهم از جمله رونویسی DNA ترمیم آسیب DNA دیده، نوترکیبی β -زن، بازآرایی β -زن ایمونوگلوبولین، RNA editing و اتصال قطعات اکازاکی مورد نیاز است (۴۴).

نتیجه‌گیری

DNA لیگازها یک کاندید ایده‌آل برای مطالعات ساختاری همه حد واسطه‌ها در مسیر اتصال پایدار هستند. در این مقاله تصاویری از ساختمان DNA لیگازها وابسته به ATP و NAD^+ و آنزیم‌های وابسته به آن‌ها در کنفرماسیون‌های کاتالیکی مختلف نشان داده شده است که بیانگر نقش این خانواده از آنزیم‌ها در مکانیسم‌های کاتالیزوری حفاظت شده است. با وجود داشتن توالی‌های آمینواسیدی متفاوت، به نظر می‌رسد که DNA لیگازهای وابسته به ATP و NAD^+ هر دو یک هسته ساختمانی مشترکی دارند که مسئول شناسایی شکاف هستند. ساختمان کریستالی نقش کاتالیزوری توالی‌های حفاظت شده را روشن و تأیید می‌کند. آنزیم‌های ویروسی از جمله T7 و Chlorella برخی از خواص کاتالیتیکی لیگازهای باکتریایی و بیوکاربوبتی را دارا می‌باشند. لیگازهای بزرگ‌تر دومین‌های اضافی دارند که به احتمال زیاد به منظور افزایش خواص معینی از این آنزیم‌ها از جمله اتصال DNA، شناسایی شکاف و هدف قرار دادن آنزیم، همانندسازی و نوترکیبی در ناحیه آسیب دیده DNA می‌باشد. اما این دومین‌های اضافی به نظر نمی‌رسد که مستقیماً در کاتالیز نقش داشته باشند.



تصویر ۶- گیرهای پروتئین DNA لیگاز (۳).

واکنش زنجیره‌ای لیگاز (LCR)

واکنش زنجیره‌ای لیگاز (LCR)^{۱۸}، یکی از روش‌های گسترش DNA است. در این روش از دو جفت اولیگو نوکلئوتید استفاده می‌شود، که یکی مکمل با رشتۀ الگو پائین است، سپس گروه فسفات '۵ یک رشتۀ با گروه '۳' رشتۀ مجاور با هم جفت می‌شوند. LCR هم در آنزیم‌های DNA پلی مراز و هم DNA لیگاز جهت پیش بردن واکنش استفاده می‌شود. LCR همانند PCR به یک سیکل دمایی جهت پیش رفتن واکنش نیاز دارد. روشی است جهت سنجش و شناسایی موتاسیون‌های تک بازی، با استفاده از روش LCR می‌توان تعداد زیادی از موتاسیون‌های انسانی را شناسایی کرد که از جمله این موتاسیون‌ها بیماری سایکل سل است

منابع

- International union of biochemistry and molecular biology. www.chem.qmul.ac.uk/iubmb/.
- Alan ET, Sangeetha V, John MP, Tom E. DNA ligases: structure, mechanism, and function. *Chem Rev.* 2006; 106(2): 687-99.
- John MP. DNA and RNA ligases: structural variations and shared mechanisms. *Curr Opin Struc Biol.* 2008; 18(1): 96-105.
- Lehman IR. DNA ligase: structure, mechanism, and function. *Science.* 1974; 186(4166): 790-7.
- Shuman S, Lima CD. The polynucleotide ligase and RNA capping enzyme superfamily of covalent nucleotidyltransferase. *Curr Opin Struct Biol.* 2004; 14(6): 747-64.
- Aidan JD, Se WS. Structural and mechanistic conservation in DNA ligases. *Nucleic Acids Res.* 2000; 28(21): 4051-8.
- Shaun H, Mohinder S, Michael JG. Cloning and expression in *E.coli* of a synthetic gene for the bacteriocidal protein caltrin/seminalplasmin. *Protein Enz.* 1987; 5(1): 425-31.

¹⁸ Ligase chain reaction

8. Jayakrishnan N, Kiong CH, Christopher DL, Stewart Sh. RNA substrate specificity and structure-guided mutational analysis of bacteriophage t4 rna ligase 2. *Gene.* 2004; 142: 129-34.
9. Aravind L, Koonin EV. Gleaning non-trivial structural, functional and evolutionary information about proteins by iterative database searches. *J Mol Biol.* 1999; 287(5): 1023-40.
10. Montecucco A, Fontana M, Focher F, Lestingi M, Spadari S, Ciarrocchi G. Specific inhibition of human DNA ligase adenylation by a distamycin derivative possessing antitumor activity. *Nucleic Acids Res.* 1991; 19(5): 1067-72.
11. Akey D, Martins A, Aniukwu J, Glickman MS, Shuman S, Berger JM. Crystal structure and nonhomologous end-joining function of the ligase component of Mycobacterium DNA ligase D. *J Biol Chem.* 2006; 281(19): 13412-23.
12. Pascal JM, Tsodikov OV, Hura GL, Song W, Cotner EA, Classen S, et al. A flexible interface between DNA ligase and PCNA supports conformational switching and efficient ligation of DNA. *Mol Cell.* 2006; 24(2): 279-91.
13. Odell M, Sriskanda V, Shuman S, Nikolov DB. Crystal structure of eukaryotic DNA ligase-adenylate illuminates the mechanism of nick sensing and strand joining. *Mol Cell.* 2000; 6(5): 1183-93.
14. Sriskanda V, Shuman S. Mutational analysis of Chlorella virus DNA ligase: catalytic roles of domain I and motif VI. *Nucleic Acids Res.* 1998; 26(20): 4618-25.
15. Sriskanda V, Shuman S. Specificity and fidelity of strand joining by Chlorella virus DNA ligase. *Nucleic Acids Res.* 1998; 26(15): 3536-41.
16. Gajiwala KS, Pinko C. Structural rearrangement accompanying NAD⁺ synthesis within a bacterial DNA ligase crystal. *Structure.* 2004; 12(8): 1449-59.
17. Tomkinson AE, Tappe NJ, Friedberg EC. DNA ligase I from *Saccharomyces cerevisiae*: physical and biochemical characterization of the CDC9 gene product. *Biochemistry.* 1992; 31(47): 11762-71.
18. Jeon HJ, Shin HJ, Choi JJ, Hoe HS, Kim HK, Suh SW, et al. Mutational analyses of the thermostable NAD⁺-dependent DNA ligase from *Thermus filiformis*. *FEMS Microbiol Lett.* 2004; 237(1): 111-8.
19. Sriskanda V, Shuman S. Chlorella virus DNA ligase: nick recognition and mutational analysis. *Nucleic Acids Res.* 1998; 26(2): 525-53.
20. Hakansson K, Doherty AJ, Shuman S, Wigley DB. X-ray crystallography reveals a large conformational change during guanyl transfer by mRNA capping enzymes. *Cell.* 1997; 89(4): 545-53.
21. Singleton MR, Håkansson K, Timson DJ, Wigley DB. Structure of the adenylation domain of an NAD-dependent DNA ligase. *Structure.* 1999; 7(1): 35-42.
22. Shuman S, Schwer B. RNA capping enzyme and DNA ligase: a superfamily of covalent nucleotidyl transferases. *Mol Microbiol.* 1995; 17(3): 405-10.
23. Pascal JM, O'Brien PJ, Tomkinson AE, Ellenberger T. Human DNA ligase I completely encircles and partially unwinds nicked DNA. *Nature.* 2004; 432(7016): 473-8.
24. Hakansson K, Doherty AJ, Shuman S, Wigley DB. X-ray crystallography reveals a large conformational change during guanyl transfer by mRNA capping enzymes. *Cell.* 1997; 89(4): 545-53.
25. Tomkinson AE, Tappe NJ, Friedberg EC. DNA ligase I from *saccharomyces cerevisiae*: physical and biochemical characterization of the CDC9 gene product. *Biochemistry.* 1992; 31(47): 11762-171.
26. Sriskanda V, Schwer B, Ho CK, Shuman S. Mutational analysis of *Escherichia coli* DNA ligase identifies amino acids required for nick-ligation in vitro and for in vivo complementation of the growth of yeast cells deleted for CDC9 and LIG4. *Nucleic Acids Res.* 1999; 27(20): 3953-63.
27. Grawunder U, Zimmer D, Leiber MR. DNA ligase IV binds to XRCC4 via a motif located between rather than within its BRCT domains. *Curr Biol.* 1998; 8(15): 873-6.
28. Bycroft M, Hubbard JP, Proctor M, Freund MV, Murzin AG. The solution structure of the S1 RNA binding domain: a member of an ancient nucleic acid-binding fold. *Cell.* 1997; 88: 235-42.
29. Horvath MP, Schweiker VL, Bevilacqua JM, Ruggles JA, Schultz SC. Crystal structure of the *oxytricha nova* telomere end binding protein complexed with single strand DNA. *Cell.* 1998; 95(7): 963-74.
30. Schindler T, Perl D, Graumann P, Sieber V, Marahiel MA, Schmid FX. Surface-exposed phenylalanines in the RNP1/RNP2 motif stabilize the cold-shock protein CspB from *Bacillus subtilis*. *Proteins.* 1998; 30(4): 401-6.
31. Murzin AG. OB (oligonucleotide oligosaccharide binding)-fold-common structural and functional solution for nonhomologous sequences. *EMBO J.* 1993;

- 12(3): 861-7.
32. Klug A, Schwabe JW. Protein motifs 5. Zinc fingers. *FASEB J.* 1995; 9(8): 597-604.
33. Rafferty JB, Sedelnikova SE, Hargreaves D, Artymuk PJ, Baker PJ, Sharples GJ, et al. Crystal structure of DNA recombination protein RuvA and a model for its binding to the holliday junction. *Science*. 1996; 274: 415-21.
34. Roe SM, Barlow T, Brown T, Oram M, Keeley A, Tsaneva IR, et al. Crystal structure of an octameric RuvA-holliday junction complex. *Mol Cell*. 1998; 2(3): 361-72.
35. Doherty AJ, Serpell LC, Ponting CP. The helix-hairpin-helix DNA-binding motif: a structural basis for non-sequence-specific recognition of DNA. *Nucleic Acids Res*. 1996; 24(13): 2488-97.
36. Bork P, Hofmann K, Bucher P, Neuwald AF, Altschul SF, Koonin EV. A superfamily of conserved domains in DNA damage-responsive cell cycle checkpoint proteins. *FASEB J*. 1997; 11(1): 68-76.
37. Callebaut I, Mornon JP. From BRCA1 to RAP1: a widespread BRCT module closely associated with DNA repair. *FEBS Lett*. 1997; 400(1): 25-30.
38. Steitz TA, Smerdon SJ, Jäger J, Joyce CM. A unified polymerase mechanism for nonhomologous DNA and RNA polymerases. *Science*. 1994; 266(5193): 2022-5.
39. Kletzin A. Molecular characterisation of a DNA ligase gene of the extremely thermophilic archaeon *desulfurolobus ambivalens* shows close phylogenetic relationship to eukaryotic ligases. *Nucl. Acids Res*. 1992; 20(20): 5389-96.
40. Nair PA, Nan dJ, Smith P, Odell M, Lima CD, Shuman S. Structural basis for nick recognition by a minimal pluripotent DNA ligase. *Nat Struct Mol Biol*. 2007; 14(8): 770-8.
41. Nandakuma RJ, Nair PA, Shuman S. Last stop on the road to repair: structure of *E. coli* DNA ligase bound to nicked DNA- adenylate. *Mol Cell*. 2007; 26(2): 257-71.
42. Wiedmann M, Wilson WJ, Czajka J, Luo J, Barany F, Batt CA. Ligase chain reaction (LCR) overview and applications. *PCR Methods Appl*. 1994; 3(4): 51-64.
43. Xiangxian M, Xiaohai Y, Kemin W, Qiuping G, Yongjun T, Qiuhua M, et al. Direct fluorescence detection of point mutations in human genomic DNA using microbead-based ligase chain reaction. *Talanta*. 2010; 80(5): 1725-9.
44. Rittié L, Perbal B. Enzymes used in molecular biology: a useful guide. *J Cell Commun Signal*. 2008; 2(1-2): 25-45.